Научная статья УДК 004.415.2.031.43 https://doi.org/10.35266/1999-7604-2024-4-3

Нейросетевая система видеонаблюдения

Никита Евгеньевич Василенко $^{1 \boxtimes}$, Наталья Александровна Медведева 2

^{1,2}Сургутский государственный университет, Сургут, Россия ¹vasilenko_ne@edu.surgu.ru[⊠], https://orcid.org/0009-0007-7880-1026 ²medvedeva na@surgu.ru, https://orcid.org/0009-0005-9379-718X

Анномация. Целью представленной работы является разработка и внедрение эффективной и доступной по цене автоматической системы видеонаблюдения, способной работать в режиме реального времени и интегрироваться с существующими системами видеонаблюдения. Представленный метод включает в себя анализ существующих на рынке решений, выбор и обучение модели глубокого обучения для обнаружения предметов, разработку пользовательских интерфейсов, контейнеризацию приложения и тестирование системы в реальных условиях. Результатом работы стала система, способная обнаруживать интересующие объекты в режиме реального времени с помощью нейронных сетей и уведомлять пользователя об обнаружении. Система предназначена для использования в общественных местах, таких как аэропорты, вокзалы, школы и другие учреждения, требующие повышенной безопасности.

Ключевые слова: информационная система, искусственные нейронные сети, распознавание образов

Для цитирования: Василенко Н. Е., Медведева Н. А. Нейросетевая система видеонаблюдения // Вестник кибернетики. 2024. Т. 23, № 4. С. 25–33. https://doi.org/10.35266/1999-7604-2024-4-3.

Original article

Neural network surveillance system

Nikita E. Vasilenko $^{1 \boxtimes}$, Natalya A. Medvedeva 2

^{1, 2}Surgut State University, Surgut, Russia ¹vasilenko_ne@edu.surgu.ru[□], https://orcid.org/0009-0007-7880-1026 ²medvedeva na@surgu.ru, https://orcid.org/0009-0005-9379-718X

Abstract. The purpose of the paper is to design and implement an efficient and affordable automatic surveillance system, which can operate in real time and integrate with existing surveillance systems. The method presented includes analyzing existing solutions on the market, selecting and training a profound learning model for objects detection, developing user interfaces, containerizing of the application and testing the system in a real-world environment. The result is a system capable of detecting objects of interest in real time using neural networks and notifying the user of the detected items. This system is designed for public places like airports, railway stations, schools, and other institutions needing enhanced security.

Keywords: information system, artificial neural networks, pattern recognition

For citation: Vasilenko N. E., Medvedeva N. A. Neural network surveillance system. *Proceedings in Cybernetics*. 2024;23(4):25–33. https://doi.org/10.35266/1999-7604-2024-4-3.

[©] Василенко Н. Е., Медведева Н. А., 2024

ВВЕДЕНИЕ

В настоящее время разработка видеосистем автоматического обнаружения предметов, входящих в область интересов, имеет критическое значение в контексте обеспечения общественной безопасности [1, 2]. Такие системы обещают значительно улучшить реакцию на потенциальные угрозы и инциденты, предотвращая их возникновение или минимизируя их последствия. Однако существует ряд проблем, связанных с трудностями внедрения, установки, конфигурации и обслуживания подобных систем.

При разработке системы использовались современные методы машинного обучения и искусственного интеллекта, подходы к созданию веб- и десктоп-приложений, а также данные о существующих решениях на рынке. Были проанализированы различные подходы к видеоаналитике и детектированию объектов, такие как алгоритм YOLO и методы сверточных нейронных сетей.

Актуальность работы обусловлена ростом глобальных угроз, таких как преступность и несанкционированные действия, а также возрастающими требованиями к общественной и частной безопасности. Интеграция современных алгоритмов глубокого обучения в систему, способную работать в реальном времени и предоставлять высокую точность обнаружения обещает дать толчок в развитии, как таких систем, так и всей сферы безопасности в целом.

Существуют решения, разработанные такими компаниями, как Videonet, ZeroEyes, Athena Security, Actuate и NtechLab, которые также направлены на улучшение безопасности с использованием видеоаналитики и искусственного интеллекта.

После анализа этих решений можно выделить ряд их недостатков:

- 1. Закрытость кода: все продукты компаний, кроме NtechLab, которые показали достоинства их алгоритма, не предоставляют доступ к исходному коду, ограничивая возможности развития, кастомизации и интеграции под специфические потребности.
- 2. Высокая стоимость лицензирования, поддержки и обновлений делают такие системы недоступными для многих организаций, не говоря о персональном использовании.
- 3. Сложность интеграции с существующими системами безопасности из-за возможной несовместимости или отсутствия необходимых интерфейсов.

МАТЕРИАЛЫ И МЕТОДЫ

При проектировании системы была выбрана модель YOLO («You Only Look Once») [3–6] для задачи обнаружения предметов в реальном времени, что обусловлено рядом причин (рис. 1).

Прежде всего, эта модель представляет собой эффективную архитектуру нейронной сети, в которой входное изображение разби-

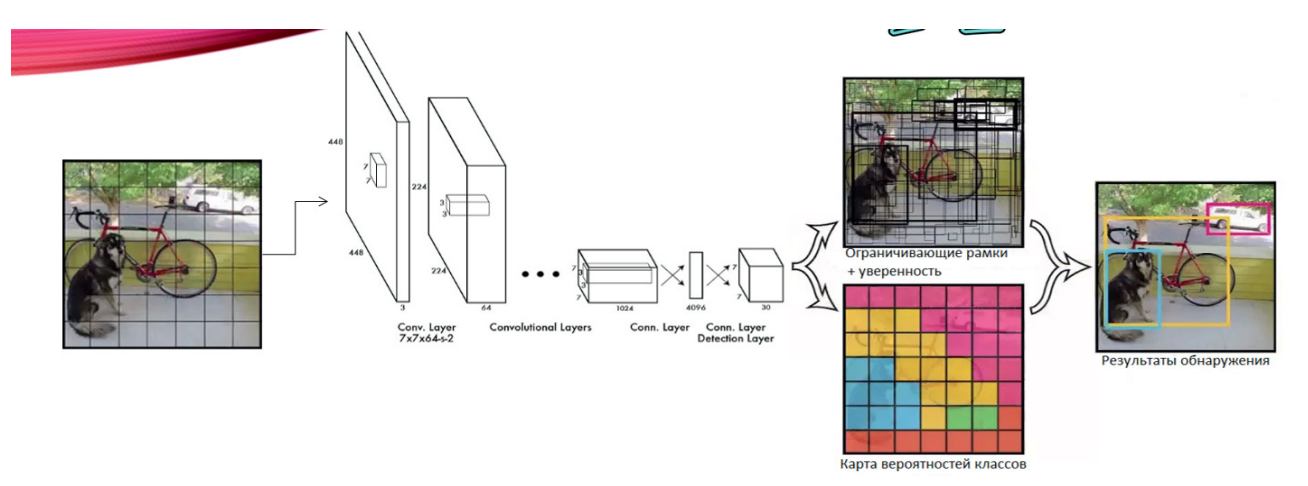


Рис. 1. Принцип работы алгоритма YOLO Примечание: составлено авторами по [3].

[©] Василенко Н. Е., Медведева Н. А., 2024

вается на сетку, и каждая ячейка сетки отвечает за обнаружение объектов в своей области.

Параметры этих ячеек (рис. 2) в виде векторов [7] являются выходным результатом работы модели, в основе которой лежит принцип сверточной нейронной сети.

Для получения предсказаний модели, изображению требуется пройти через нее всего один раз. Это отличает алгоритм YOLO от других алгоритмов обнаружения объектов и позволяет выполнять инференс с высокой скоростью (рис. 3), что очень важно для си-

стемы, работающей в режиме реального времени

Установка необходимых библиотек, импортирование модели, установка датасета, обучение модели и экспорт файла весов производились в среде Google Colab с подключенным Google хранилищем для сохранения файловой структуры проекта (рис. 4–5) [8].

Параметры обучения (рис. 6) подбирались экспериментальным путем для выведения наилучшей точности модели. Крайний вариант модели обучался на протяжении

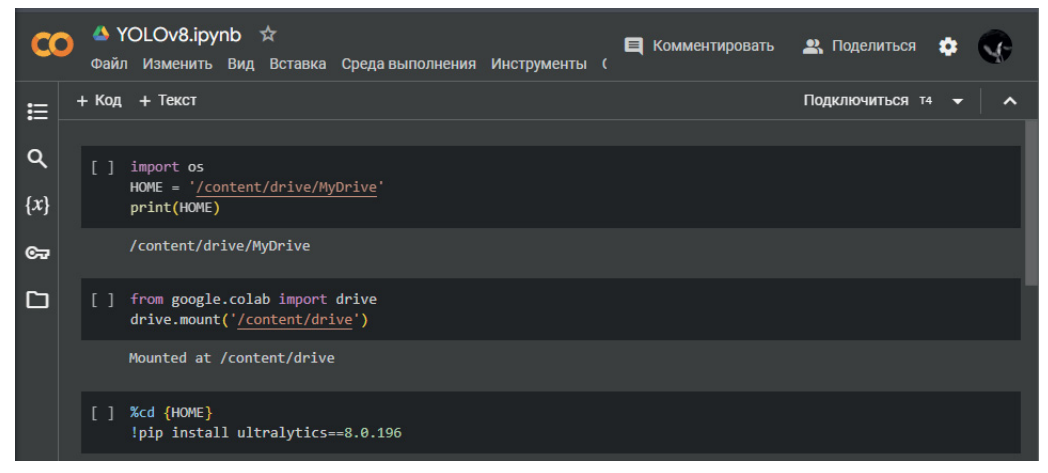


Рис. 2. Параметры ячеек изображения Примечание: составлено авторами по [3].

Model	mAP	FPS	Real Time speed	
Fast YOLO	52.7%	155	Yes	
YOLO	63.4%	45	Yes	
YOLO VGG-16	66.4%	21	No	
Fast R-CNN	70.0%	0.5	No	
Faster R-CNN VGG-16	73.2%	7	No	
Faster R-CNN ZF	62.1%	18	No	

Рис. 3. Сравнение скорости и производительности моделей, обученных с наборами данных PASCAL VOC 2007 и 2012 гг.

Примечание: составлено авторами.



Puc. 4. Подключение Google хранилища и установка библиотеки для работы с моделями ИИ

Примечание: составлено авторами.

[©] Василенко Н. Е., Медведева Н. А., 2024

```
[ ] from ultralytics import YOLO

[ ] !pip install roboflow
    from roboflow import Roboflow
    rf = Roboflow(api_key="tnnsWsL9TYAoERnfrZvV")
    project = rf.workspace("imam-maulana-b4xet").project("handgun-detection-jtvaj")
    version = project.version(9)
    dataset = version.download("yolov8")
```

Рис. 5. Импорт модели YOLO и установка датасета с помощью библиотеки Roboflow Примечание: составлено авторами.

```
[ ] !yolo task=detect \
    mode=train \
    model=yolov8s.pt \
    data=/content/drive/MyDrive/Handgun-Detection-9/data.yaml \
    epochs=30 \
    batch=16 \
    device=0 \
    imgsz=640
```

Рис. 6. Метод обучения модели на установленном датасете с определенными параметрами обучения Примечание: составлено авторами.

30-ти эпох, с количеством образцов данных, обрабатываемых нейронной сетью за одну итерацию, равную 16-ти, и с использованием более 4-х Гб видеопамяти.

При конечном инференсе (рис. 7–9) модель показала 78,5% средней точности, что, относительно затраченных ресурсов, является хорошим показателем.

Для создания системы автоматического оповещения пользователя об обнаружении нежелательных предметов в реальном времени использовались современные технологии для реализации серверной и клиентской части программного обеспечения:

- 1. Qt Designer инструмент для построения графических интерфейсов для программ, которые используют библиотеку Qt.
- 2. Разработка веб-приложения осуществлялась с использованием фреймворка Flask. Его главным преимуществом является простая и гибкая архитектура, позволяющая создавать веб-приложения любой сложности.
- 3. Платформа для контейнеризации Docker, с помощью которого программный код упако-

вывается в единый исполняемый файл вместе с библиотеками и зависимостями, чтобы обеспечить его корректный запуск.

4. Библиотека PyQt5 для верстки стороны клиента и создание алгоритма обнаружения предметов для десктоп-приложения.

РЕЗУЛЬТАТЫ И ИХ ОБСУЖДЕНИЕ

В файле «desktop.py» находится код, интерпретация которого (рис. 10) создаст объект «QApplication», представляющий собой основное окно приложения PyQt5. После чего создастся экземпляр «LoginWindow» (окно входа), установится иконка окна и оно отобразится (рис. 11).

Откроется следующее окно. Если пользователь не регистрировался ранее, то он может это сделать нажатием кнопки «Зарегистрироваться» (рис. 12).

Это действие откроет веб-страницу с разделом регистрации, что позволит пользователю зарегистрироваться (рис. 13).

После регистрации пользователь может войти в личный кабинет. Теперь, после вноса

[©] Василенко Н. Е., Медведева Н. А., 2024

Epoch 24/30	GPU_mem 4.29G Class all	box_loss 0.7793 Images 300	cls_loss 0.5968 Instances 363	dfl_loss 1.339 Box(P 0.774	Instances 24 R 0.614		100% 303/303 [02:02<00:00, 2.47it/s] mAP50-95): 100% 10/10 [00:04<00:00, 2.28it/s] 0.49	
Epoch 25/30	GPU_mem 4.15G Class all	box_loss 0.7622 Images 300	cls_loss 0.5677 Instances 363	dfl_loss 1.313 Box(P 0.758	Instances 14 R 0.663		100% 303/303 [02:01<00:00, 2.48it/s] mAP50-95): 100% 10/10 [00:04<00:00, 2.25it/s] 0.504	
Epoch 26/30	GPU_mem 4.14G Class all	box_loss 0.7427 Images 300	cls_loss 0.5408 Instances 363	dfl_loss 1.307 Box(P 0.758	Instances 14 R 0.678		100% 303/303 [02:01<00:00, 2.50it/s] mAP50-95): 100% 10/10 [00:05<00:00, 1.81it/s] 0.514	
Epoch 27/30	GPU_mem 4.29G Class all	box_loss 0.7223 Images 300	cls_loss 0.5107 Instances 363	dfl_loss 1.286 Box(P 0.822	Instances 13 R 0.667		100% 303/303 [02:05<00:00, 2.40it/s] mAP50-95): 100% 10/10 [00:04<00:00, 2.26it/s] 0.52	
Epoch 28/30	GPU_mem 4.29G Class all	box_loss 0.7029 Images 300	cls_loss 0.4937 Instances 363	dfl_loss 1.258 Box(P 0.837	Instances 13 R 0.678		100% 303/303 [02:05<00:00, 2.42it/s] mAP50-95): 100% 10/10 [00:04<00:00, 2.11it/s] 0.54	
Epoch 29/30	GPU_mem 4.15G Class all	box_loss 0.688 Images 300	cls_loss 0.4751 Instances 363	dfl_loss 1.249 Box(P 0.839	Instances 13 R 0.677		100% 303/303 [02:01<00:00, 2.49it/s] mAP50-95): 100% 10/10 [00:05<00:00, 1.70it/s] 0.54	
Epoch 30/30	GPU_mem 4.14G Class all	box_loss 0.6721 Images 300	cls_loss 0.4523 Instances 363	dfl_loss 1.238 Box(P 0.826	Instances 13 R 0.686		100% 303/303 [02:02<00:00, 2.48it/s] mAP50-95): 100% 10/10 [00:04<00:00, 2.18it/s] 0.541	
30 epochs completed in 1.119 hours. Optimizer stripped from runs/detect/train2/weights/last.pt, 22.5MB Optimizer stripped from runs/detect/train2/weights/best.pt, 22.5MB								
Validating runs/detect/train2/weights/best.pt Ultralytics YOLOv8.0.196 ✔ Python-3.10.12 torch-2.2.1+cu121 CUDA:0 (Tesla T4, 15102MiB) Model summary (fused): 168 layers, 11125971 parameters, 0 gradients, 28.4 GFLOPs Class Images Instances Box(P R mAP50 mAP50-95): 100% 10/10 [00:09<00:00, 1.07it/s] all 300 363 0.826 0.686 0.785 0.541								
Speed: 0.4ms preprocess, 5.4ms inference, 0.0ms loss, 7.1ms postprocess per image Results saved to runs/detect/train2 Learn more at https://docs.ultralytics.com/modes/train								

Рис. 7. Зафиксированные последние эпохи обучения модели с выводом результатов Примечание: составлено авторами.

```
[ ] model = YOLO('/content/drive/MyDrive/runs/detect/train2/weights/best.pt')
    exported = model.export(format="onnx")
```

Рис. 8. Экспорт файла весов в необходимый для дальнейшей работы формат Примечание: составлено авторами.

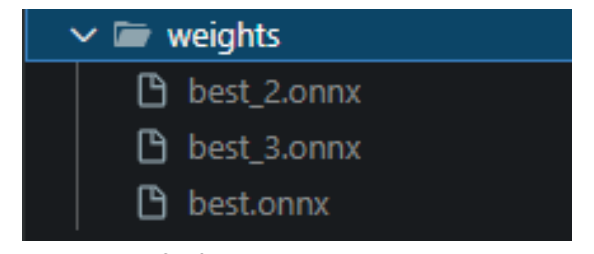


Рис. 9. Каталог с файлами весов Примечание: составлено авторами.

пользователя в базу данных, можно успешно войти систему локально и указать местоположение камеры, с помощью которой планируется проводить мониторинг (рис. 14—15).

Запустив мониторинг, перед пользователем появится окно мониторинга, где изображение будет передаваться в реальном времени с указанной камеры (рис. 16).

[©] Василенко Н. Е., Медведева Н. А., 2024

```
🥏 desktop.py > ...
  1 from PyQt5.QtWidgets import QApplication
     from PyQt5.QtGui import QIcon
  2
     import sys
  3
  4
      import login_window
  5
      def main():
  6
  7
          app = QApplication(sys.argv)
  8
          app_icon = QIcon("UI/ICON_32.png")
  9
 10
          mainwindow = login_window.LoginWindow()
 11
          mainwindow.setWindowIcon(app_icon)
 12
 13
          try:
 14
              sys.exit(app.exec_())
 15
          except Exception as e:
 16
              print(f"An error occurred: {e}")
 17
          finally:
 18
              login_window.smtpObj.quit()
              print("Exiting...")
 19
 20
 21
      if __name__ == "__main__":
 22
          main()
```

Рис. 10. Содержимое файла desktop.py Примечание: составлено авторами.

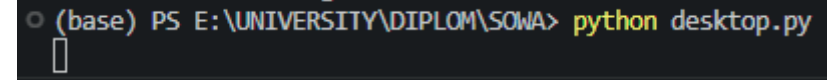


Рис. 11. Команда запуска приложения пользователя Примечание: составлено авторами.

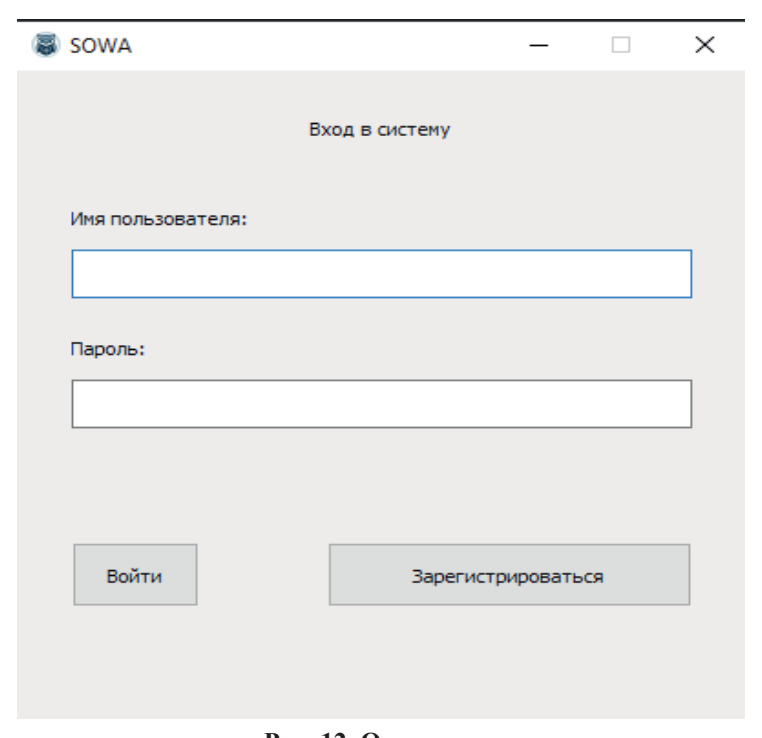


Рис. 12. Окно входа Примечание: составлено авторами.

[©] Василенко Н. Е., Медведева Н. А., 2024

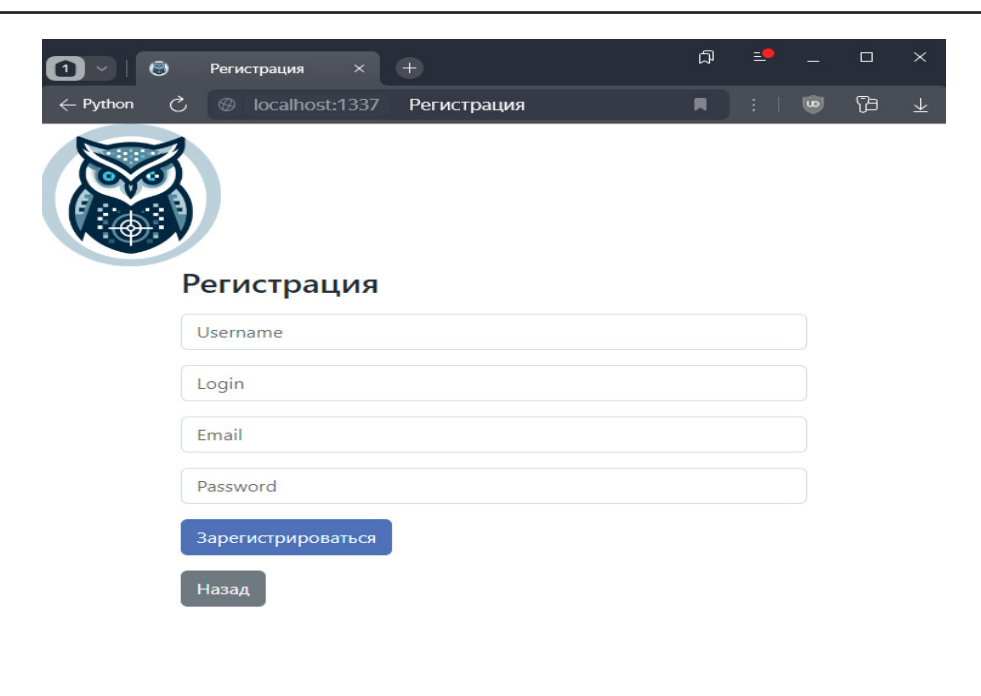


Рис. 13. Страница регистрации

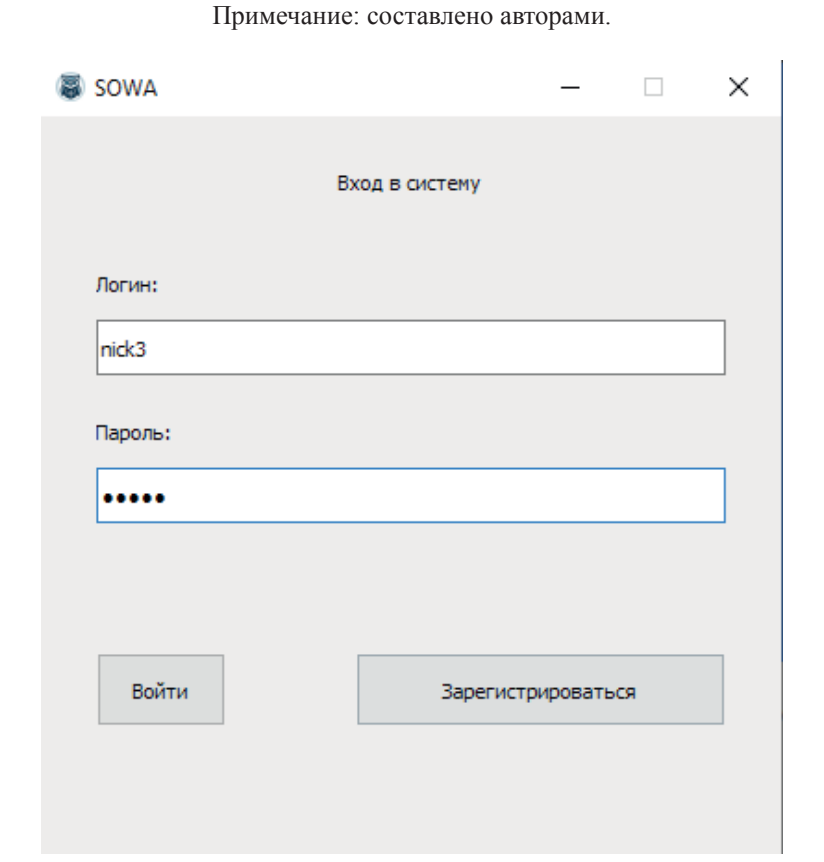


Рис. 14. Вход в систему Примечание: составлено авторами.

[©] Василенко Н. Е., Медведева Н. А., 2024

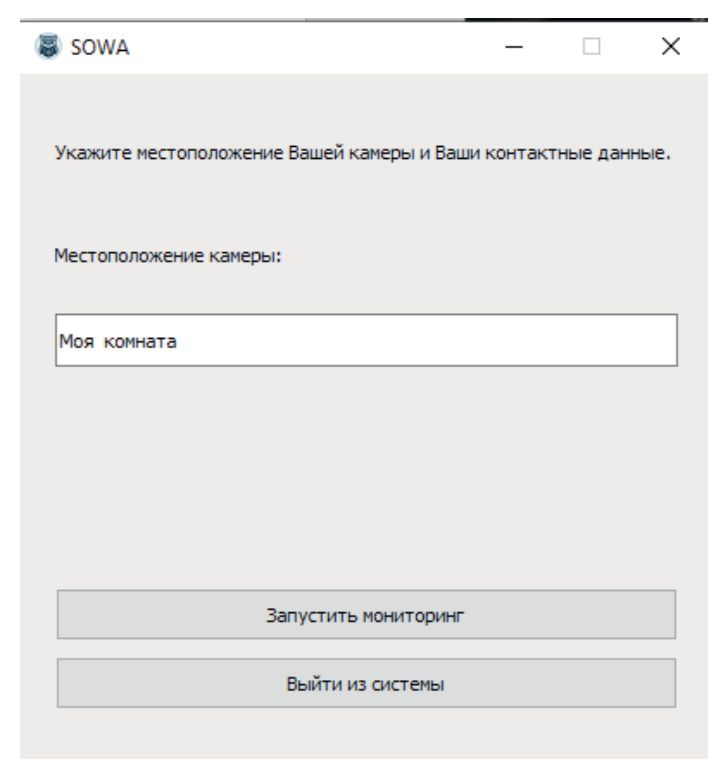


Рис. 15. Заполнение полей окна настройки Примечание: составлено авторами.

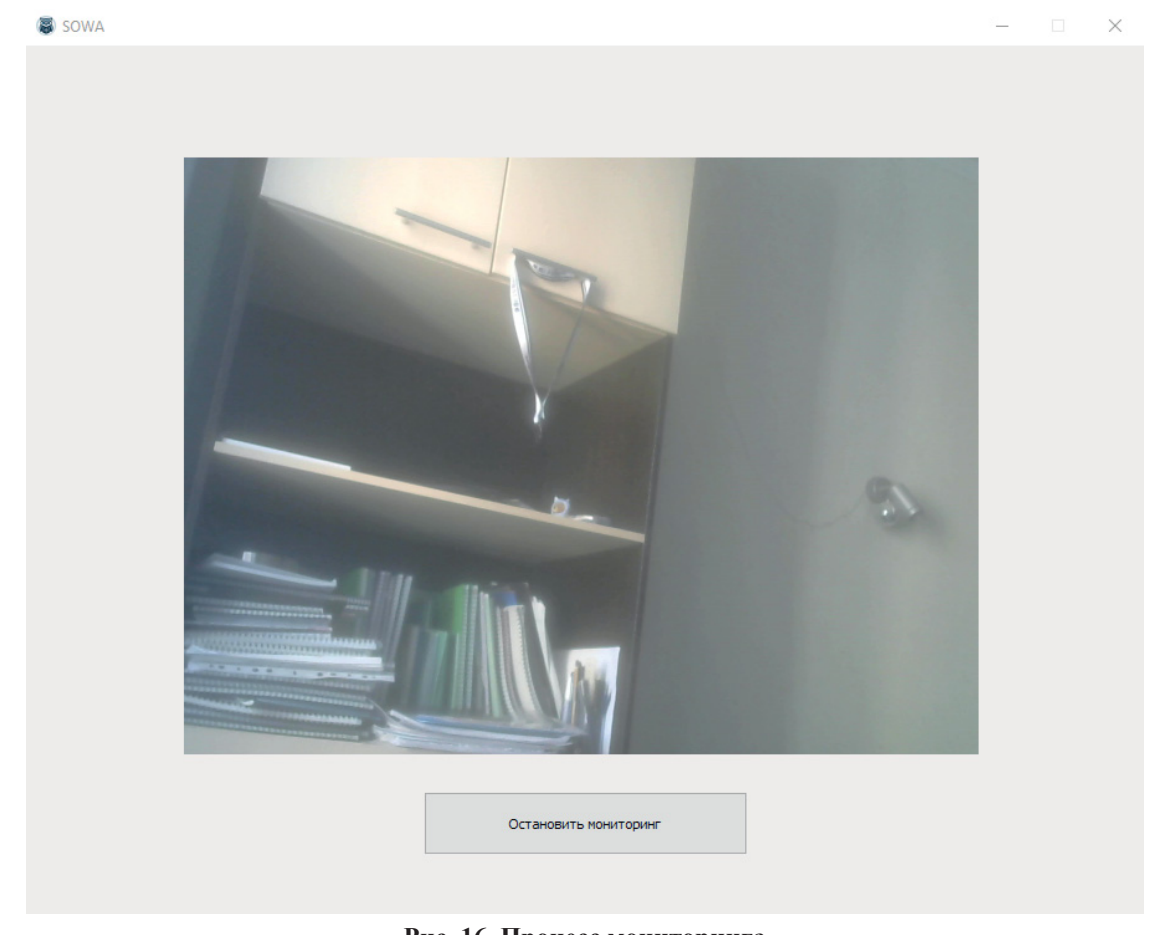


Рис. 16. Процесс мониторинга Примечание: составлено авторами.

[©] Василенко Н. Е., Медведева Н. А., 2024

ЗАКЛЮЧЕНИЕ

В рамках научно-исследовательской работы была разработана и реализована интегрированная система, которая включает в себя следующие основные компоненты:

- 1. Обнаружение предметов в реальном времени. Для этого были использованы технологии компьютерного зрения и глубокого обучения. Эти технологии позволяют системе анализировать видеопоток с камер наблюдения и автоматически определять наличие предметов на изображениях.
- 2. Автоматическое оповещение. Когда система обнаруживает предметы в поле зрения камеры, она автоматически отправляет оповещение пользователю, а в личном кабинете он сможет посмотреть подробную информацию об обнаружении. Такая система позволяет оперативно реагировать на экстренные ситуации и ее применение способ-

Список источников

- Ларина Ю. Событийный видеоконтроль // Безопасность. Достоверность. Информация. 2009. № 83. С. 28–40.
- 2. VideoNet PSIM интеллектуальная система безопасности. URL: https://www.videonet.ru/ (дата обращения: 05.05.2024).
- 3. Распознавание образов с помощью искусственного интеллекта. URL: https://habr.com/ru/articles/709432/ (дата обращения: 05.05.2024).
- 4. YOLO: You Only Look Once Real Time Object Detection GeeksforGeeks. URL: https://www.geeksforgeeks.org/yolo-you-only-look-once-real-time-object-detection/ (дата обращения: 05.05.2024).
- Real-Time Object Identification Through Convolution Neural Network Based on YOLO Algorithm. URL: https://www.sciencepg.com/article/10.11648/j.mcs.20230805.11 (дата обращения: 05.05.2024).
- YOLO with adaptive frame control for real-time object detection applications. URL: https://link.springer.com/article/10.1007/s11042-021-11480-0 (дата обращения: 05.05.2024).
- D_0.06 YOLO Head. URL: https://junha1125. github.io/blog/artificial-intelligence/2020-08-18-YOLO/ (дата обращения: 05.05.2024).
- 8. How to Train YOLOv8 Object Detection on a Custom Dataset. URL: https://blog.roboflow.com/how-to-train-yolov8-on-a-custom-dataset/ (дата обращения: 05.05.2024).

Информация об авторах

- Н. Е. Василенко магистрант.
- Н. А. Медведева старший преподаватель.

ствует дальнейшему развитию систем безопасности с использованием современных технологий.

3. Доступность и масштабируемость. Для обеспечения доступности и масштабируемости при реализации системы была использована контейнеризация. Этот подход позволил создать изолированную среду выполнения, которая легко переносится и запускается на различных платформах, включая локальные компьютеры. Благодаря этому, система становится доступной для обычных пользователей и способна к масштабированию, позволяя повысить производительность при увеличении вычислительных ресурсов.

Видеосистема автоматического оповещения пользователя об обнаружении предметов повышенного риска в реальном времени является важной частью обеспечения как общественной, так и персональной безопасности.

References

- 1. Larina Yu. Sobytiinyi videokontrol. *Bezopasnost. Dostovernost. Informatsiia*. 2009;(83):28–40. (In Russ.).
- VideoNet PSIM intellektualnaia sistema bezopasnosti. URL: https://www.videonet.ru/ (accessed: 05.05.2024). (In Russ.).
- 3. Raspoznavanie obrazov s pomoshchyu iskusstvennogo intellekta. URL: https://habr.com/ru/articles/709432/ (accessed: 05.05.2024). (In Russ.).
- 4. YOLO: You Only Look Once Real Time Object Detection GeeksforGeeks. URL: https://www.geeksforgeeks.org/yolo-you-only-look-once-real-time-object-detection/ (accessed: 05.05.2024).
- 5. Real-Time Object Identification Through Convolution Neural Network Based on YOLO Algorithm. URL: https://www.sciencepg.com/article/10.11648/j.mcs.20230805.11 (accessed: 05.05.2024).
- YOLO with adaptive frame control for real-time object detection applications. URL: https://link.springer.com/article/10.1007/s11042-021-11480-0 (accessed: 05.05.2024).
- 7. D_0.06 YOLO Head. URL: https://junha1125.github.io/blog/artificial-intelligence/2020-08-18-YOLO/ (accessed: 05.05.2024).
- 8. How to Train YOLOv8 Object Detection on a Custom Dataset. URL: https://blog.roboflow.com/how-to-train-yolov8-on-a-custom-dataset/ (accessed: 05.05.2024).

About the authors

- N. E. Vasilenko Master's Degree Student.
- N. A. Medvedeva Senior Lecturer.